

# ژئوشیمی و سنگ‌زایی بازالت‌های سازند ابرسچ (اردوویسین بالایی)، البرز شرقی، شمال شاهرود

حبيب‌الله قاسمی<sup>۱</sup>، زکیه کاظمی<sup>۲</sup>، عزیزالله طاهری<sup>۳</sup>

- ۱- دانشیار پترولوری، دانشکده علوم زمین، دانشگاه صنعتی شاهرود
- ۲- دانشجوی کارشناسی ارشد پترولوری، دانشکده علوم زمین، دانشگاه صنعتی شاهرود
- ۳- دانشیار چینه‌شناسی و فسیل شناسی، دانشکده علوم زمین، دانشگاه صنعتی شاهرود

\* عهده‌دار مکاتبات: h-ghasemi@Shahroodut.ac.ir

دریافت مقاله: ۹۱/۳/۲۷، پذیرش مقاله: ۹۱/۸/۸

## چکیده

به رغم کمیابی سنگ‌های اردوویسین در ایران، رخمنون‌های قابل توجهی از آن‌ها با عنوان سازندهای آبستو، ابرسچ و قلی در شمال و جنوب غرب شاهرود وجود دارد. در سازندهای ابرسچ و قلی، رخمنون‌های پراکنده‌ای از سنگ‌های بازالتی دیده می‌شود که تاکنون مطالعه نشده‌اند. این بازالت‌ها حاصل برون‌ریزی اولین ماقماهای تولید شده در خلال آغاز حرکات کششی و کافت‌زایی دیرینه‌تیس در البرز شرقی هستند. این‌ها شباهت نزدیکی با بازالت‌های سلطان میدان با سن سیلورین داشته و به صورت گمازه، دایک و سیل در واحدهای رسوبی اردوویسین بالایی رخمنون دارند. براساس مطالعات ژئوشیمیایی، این سنگ‌ها دارای ترکیب بازالت، تراکی بازالت و تراکی آنزیت بازالتی بوده و دارای ماهیت قلیایی و مشخصات درون‌صفحه‌ای هستند. نمودارهای بهنجارشده نسبت به گوشته اولیه و کندریت، حاکی از نسبت بالای LREE/HREE و غنی‌شدنی از LREE بدون هیچ‌گونه تهی شدگی از HFSE هستند. در نمودارهای تمایز محیط زمین‌ساختی، این سنگ‌ها در محدوده بازالت‌های قلیایی کافت‌های درون‌قاره‌ای قرار می‌گیرند. نمودارهای دوتایی نسبت‌های عنصر ناسازگار (مانند La/Yb در برابر Dy/Yb) نشان می‌دهند که ماقماهای بازالتی والد، بر اثر ذوب‌بخشی ۱۶ درصدی یک منبع گوشته‌ای گارنت - پریدوتیتی در اعماق ۱۰۰ تا ۱۱۰ کیلومتری حاصل شده است.

**واژه‌های کلیدی:** ژئوشیمی، سنگ‌زایی، بازالت، اردوویسین، ابرسچ، شاهرود

## ۱- مقدمه

کیتونوزوآ، اسکلوکودونت و کریپتواسپور فراوان در سازند ابرسچ، سن اردوویسین پسین (آشگیلین) را برای این سازند پیشنهاد کرده و آن را معادل با سازند قلی در نظر گرفته‌اند (Ghavidel-Syooki, 2009). مجموعه پالینومورفهای قویدل سیوکی و حسین‌زاده مقدم (۱۳۸۹) این سنگ‌ها را در سنگ‌های جمع‌آوری شده از سازندهای ابرسچ و قلی نشان‌دهنده نهشته شدن این سازندها در محیط دریایی کم‌عمق است (Ghavidel-Syooki, 2009, 2006)، اما تحلیل کلیه مطالعات صحرایی از جمله ساختارهای رسوبی نشان می‌دهد که سازند ابرسچ در یک محیط رسوبی توربیدیاتی عمیق و به صورت یک بادزن زیردریایی نهشته شده است. همچنین سازند قلی نیز در یک محیط عمیق دریابی و توسط جریان‌های آشفته نهشته شده است (طاهری و همکاران، ۱۳۸۳). سه‌مایی (۱۳۹۰) دایک‌ها و روانده‌های بازالتی مشاهده شده در سازند ابرسچ را نشانگر کافت‌هایی می‌داند که در طول تشکیل این سازند در بستر دریا ایجاد شده‌اند. براساس فسیل‌های شناخته‌شده، شیسته‌های گرگان نیز سنی معادل Ghavidel-Syooki, 2008، (Zanchi et al., 2009; Zanchi et al., 2009؛ عمق دریایی همراه با بازالت‌های طغیانی موجود در شیسته‌های گرگان نشان‌دهنده حادث آتش‌نشانی مرتبط با بازشدگی کافت دیرینه‌تیس

رخمنون سنگ‌های آذرین پالنوزوییک زیرین در ایران محدودتر از سایر دوران‌های زمین‌شناسی بوده و پراکنده‌گی و گستردگی کمتری دارد. با این حال، در منطقه شمال و جنوب‌غرب شاهرود، رخمنون‌های سنگ‌های این زمان از ضخامت و گسترش قابل توجهی برخوردار بوده و با عنوانی سازندهای آبستو، ابرسچ و قلی به نقشه در آمده‌اند. به غیر از بخش‌های کوچکی از صفحه توران (واقع در شمال ایران)، سرزمین ایران در طی پالنوزوییک بخشی از حاشیه شمالی گندوانا بوده است (Berberian & King, 1981Wendt et al., 2005;). ماقماهیسم اردوویسین میانی - دونین در البرز و بسیاری از نقاط ایران مرکزی به عنوان مراحل کافت‌زایی اقیانوس دیرینه‌تیس Alavi, 1996, Boulin, 1991, Stampfli, 1978). یکی از اولین فعالیت‌های Berberian & King, 1981; یعنی از آذرین مرتبط با کافت‌زایی دیرینه‌تیس در پالنوزوییک زیرین در اردوویسین رخ داده که از رخمنون‌های شاخص آن می‌توان به سنگ‌های آذرین موجود در سازندهای ابرسچ و قلی اشاره کرد. سازند ابرسچ تختین‌بار در نقشه ۱:۲۵۰۰۰ گرگان توسط شهرابی و همکاران (۱۳۶۹) معرفی شده است. بر بنای حضور اکریتارش،

سیلیستون‌های مربوط به سازند ابرسج) به صورت آنکلاو در این بازالت‌ها حاکی از فوران انفجاری ماقماست (شکل ۶). همچنین درزهای و شکستگی‌های کم و بیش منظم، خردشده‌گی، شکستگی صدفی و ساختارهای حفره‌ای پرشده با کانی‌های ثانویه در بازالت‌های منطقه، می‌تواند بیانگر فوران ماقما در محیط زیرآبی باشد. کانه‌زایی ثانویه مس به صورت مالاکیت و آزویریت (کربنات‌های مس‌دار) در سطح ماسه‌سنگ‌ها و در داخل درز و شکاف‌های آن‌ها و همچنین در حفره‌های سنگ‌های بازالتی مشاهده می‌شود. دایک‌ها و سیل‌های موجود در سازندهای ابرسج و قلی دارای ترکیب میکروگابرویی بوده و شباهت‌های فراوان با بازالت‌های سلطان میدان واقع بر روی این سازندها دارند. به نظر می‌رسد که آن‌ها ماقمای منجمدشده در مجاری تغذیه کننده فوران عظیم بازالتی سیلورین منطقه باشند (کاظمی و همکاران، ۱۳۹۰).

#### ۴- سنگ‌نگاری

##### ۱- بازالت‌ها

پلازیوکلаз و کلینوپیروکسن (از نوع اوزیت) از کانی‌های اصلی تشکیل‌دهنده نمونه‌های بازالتی مناطق مورد مطالعه هستند. از مهم‌ترین کانی‌های فرعی این سنگ‌ها می‌توان به الیوین و کانی‌های مات مشاهده شده در مقاطع صیقلی مانند مگنتیت، پیریت و کالکوپیریت اشاره کرد. شدت تجزیه کانی الیوین در نمونه‌ها به حدی است که کانی اولیه، به طور کلی ویزگی‌های کانی‌شناسی خود را از دست داده و توسط کلریت، کلسیت و اکسید آهن جانشین شده است (شکل ۷). به دلیل نفوذ سیالات، سنگ‌های بازالتی تا حدودی دچار دگرسانی شده و پلازیوکلارها در نتیجه سوسوریتی شدن به مجموعه کانی‌های اپیدوت، کلسیت و کلریت تبدیل شده‌اند. در بازالت‌های مورد مطالعه، درشت‌بلورهای پلازیوکلاز و کلینوپیروکسن در زمینه‌ای از پلازیوکلارهای میکرولیتی همراه با کلینوپیروکسن‌های ریزدانه قرار گرفته‌اند و بافت پورفیری و گلومرپورفیری را ایجاد کرده‌اند (شکل ۸). از دیگر بافت‌های مشاهده شده در این سنگ‌ها می‌توان به بافت‌های بادامکی، جریانی، ساب‌افیتیک و بین‌دانه‌ای اشاره کرد (شکل ۹).

##### ۲- میکروگابروها

کانی‌های اصلی نمونه‌های میکروگابرویی پلازیوکلاز و کلینوپیروکسن (اوزیت) هستند. آپاتیت و کانی‌های مات مشاهده شده در مقاطع صیقلی مانند مگنتیت و پیریت از مهم‌ترین کانی‌های فرعی این سنگ‌ها هستند (شکل ۱۰). کانی‌های ثانویه از قبیل کلریت و کلسیت در اثر دگرسانی پلازیوکلاز و کلینوپیروکسن در این سنگ‌ها تشکیل شده‌اند. بافت‌های غالب موجود در این سنگ‌ها شامل بافت‌های بین‌دانه‌ای، ساب‌افیتیک و افیتیک هستند (شکل ۱۱).

در اواخر اردوویسین هستند (Ghavidel-syooki, 2008) (بنابراین به نظر می‌رسد که سنگ‌های بازالتی موجود در سازندهای ابرسج و قلی با سنگ‌های آذرین موجود در شیسته‌های گرگان همسان بوده و مربوط به یک رخداد ماقمایی (اواخر اردوویسین) باشند (قاسمی و خانعلیزاده، ۱۳۹۱).

#### ۲- روش تحقیق

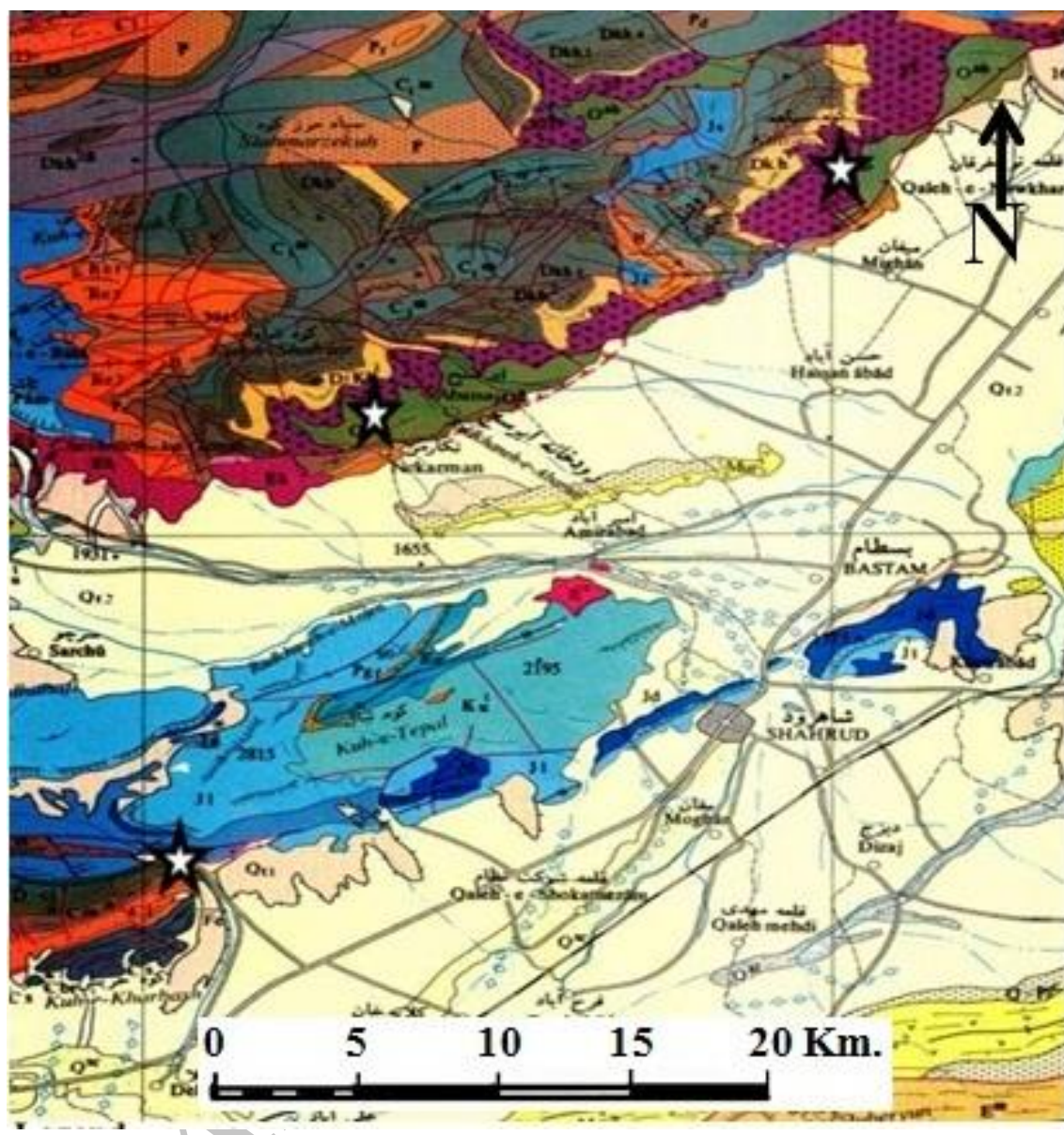
در این تحقیق پس از انجام بررسی‌های صحرایی، نمونه‌برداری، تهیه مقاطع نازک و مطالعات سنگنگاری دقیق، تعداد ۱۰ نمونه با توجه به کمترین هوازدگی، انتخاب و برای تجزیه به آزمایشگاه SGS-Chemex کانادا ارسال شدند. نمونه‌ها با استفاده از روش‌های تجزیه شیمیایی ICP-AES، ICP-MS تجزیه و میزان اکسیدهای اصلی به درصد وزنی و عنصر فرعی و کمیاب به ppm تعیین شدند (جدول ۱).

#### ۳- زمین‌شناسی عمومی منطقه

مناطق مطالعه شده در بخش شمال و جنوب غرب شهرستان شاهروド در سه منطقه نکارمن (شمال غرب شاهرود)، قلعه‌نورخرقان (شمال شاهرود) و دهملا (جنوب غرب شاهرود) واقع در زون ساختاری البرز شرقی قرار دارند (شکل ۱). این مناطق در محدوده‌ای به طول جغرافیایی  $۵۰^{\circ} ۴۴' ۲۱''$  تا  $۵۵^{\circ} ۵۴' ۲۷''$  شرقی و عرض جغرافیایی  $۳۶^{\circ} ۳۹' ۰۷''$  تا  $۳۶^{\circ} ۳۹' ۲۰''$  شمالی قرار گرفته‌اند. سنگ‌شناسی عمده سازندهای ابرسج و قلی شامل ماسه‌سنگ، سیلیستون میکاردار و شیل‌های زیتونی و سبز تا خاکستری است. در البرز شرقی در مرز زیرین سازند ابرسج، سازند آبستو (شامل مجموعه‌ای از دولومیت، آهک و شیل) به سن اردوویسین پیشین (Ghavidel-Syooki, 2009) به صورت هم‌شیب قرار دارد. مرز بالایی سازند ابرسج به صورت پیوسته و هم‌شیب توسط سنگ‌های آتشفسانی سازند سلطان میدان به سن سیلورین (Ghavidel-Syooki et al., 2011) پوشیده شده است. سنگ‌های بازی موجود در سازندهای ابرسج و قلی را که هدف اصلی این تحقیق هستند می‌توان به صورت گدازه، دایک و سیل درون این سازندها در مناطق نکارمن، قلعه‌نورخرقان و دهملا مشاهده کرد (شکل‌های ۲، ۳، ۴ و ۵). روانه‌های بازالتی موجود در سازند ابرسج، ریزدانه و دارای بافت بادامکی بوده، که حفره‌های آن‌ها توسط کانی‌های ثانویه از قبیل کلریت، کلسیت و کوارتز پر شده‌اند. حضور این حفره‌ها در روانه‌های بازالتی، نشانه سطح بالایی آن‌هاست که در اثر برداشته شدن فشار، گازها از سطح گدازه خارج شده‌اند. تنوع در اندازه، شکل و فراوانی حفره‌ها در گدازه‌ها متأثر از چندین عامل از جمله میزان کاهش فشار، بهم آمیختگی، تغییر شکل طی جریان، محتوای مواد فرآور و گرانروی ماقمای منشأ است (Mcphie et al., 1993).

جدول ۱- نتایج تجزیه شیمیایی نمونه‌های مورد مطالعه که مقادیر اکسیدهای عناصر اصلی را به درصد وزنی و مقادیر عناصر فرعی و خاکی کمیاب را به قسمت در میلیون نشان می‌دهد

Kh3 (دایک)	D-3/4 (دایک)	D-1/1 (دایک)	N-14/2-3 (دایک)	N-15/2 (گدازه)	N-9/2-1 (گدازه)	N-8/4-2 (گدازه)	N-5/1-4 (گدازه)	N-4/3 (گدازه)	N-1/1 (گدازه)	نمونه
۱.۸	.۴۷	۴۴.	۴۸۶	۴۸	۴۷.۷	۷.۴	۴۶.۹	۷۴	۴۷.۷	SiO <sub>2</sub>
۱.۷۷	۲.۶۸	۲.۵۵	۳۰.۲	۲.۲۷	۱.۹۵	۳.۴۱	۳.۱۶	۳.۲۴	۲.۲	TiO <sub>2</sub>
۱۶	۳.۶	۷۱۳	۱۲.۹	۱۵.۱	۱۴.۹	۱۴.۸	۱۴.۷	۱۴.۳	۵	Al <sub>2</sub> O <sub>3</sub>
۷.۹	۱۲.۳	۱۲.۵	۱۳.۵	۱۱.۲	۱۱.	۱۲.	۹۱	۱۳.۴	۱۲.۱	Fe <sub>2</sub> O <sub>3total</sub>
۱.۱۲	۰.۹۴	۱.۴۹	۰.۱۳	۱.۴	۲.۱۹	۱.۳۸	۲.۱۸	۱.۲۲	۱.۱۳	K <sub>2</sub> O
۲.۸	۲۴	۲.۱	۲.۲	۳.۷	۳.۵	۳.۹	۵	۴.۳	۲.۷	Na <sub>2</sub> O
۸.۳۵	۷.۴۳	۴.۹۲	۶.۹۳	۷.۳۵	۷.۲۳	۶.۷۸	۴.۰۶	۵.۲۷	۱.۶۶	CaO
۶.۱۱	۴.۱۶	۵.۱۹	۴.۶۸	۵.۹۵	۶.۰۵	۴.۸۸	۱.۹۹	۵.۴۲	۶.۷۵	MgO
۰.۱۶	۰.۱۳	۰.۳۵	۰.۲۱	۰.۲۷	۰.۲۵	۰.۳۴	۰.۰۸	۰.۳۸	۰.۲۴	MnO
۰.۲۶	۰.۳۵	۰.۳۱	۰.۳۸	۰.۳۲	۰.۲۶	۰.۵۳	۰.۴۵	۰.۵۳	۰.۳	P <sub>2</sub> O <sub>5</sub>
۰.۰۱	۰.۰۱	۰.۰۲	۰.۰۱	۰.۰۱	۰.۰۲	۰.۰۱	۰.۰۱	۰.۰۱	۰.۰۱	Cr <sub>2</sub> O <sub>3</sub>
۳.۱۸	۵.۷۶	۷.۶۷	۲.۹۸	۲.۴۲	۲.۲۷	۲.۶۶	۵.۱۳	۳.۳۱	۲.۰۸	L.O.I
۹۷.۵	۹۷.۴	۹۵.۵	۹۶.۵	۹۷.۹	۹۷.۵	۹۸.۲	۹۷.۶	۹۷.۱	۹۷.۴	Total
۹۷.۵	۹۷.۴	۹۵.۵	۹۶.۵	۹۷.۹	۹۷.۵	۹۸.۲	۹۷.۶	۹۷.۱	۹۷.۴	Sum
۲۸۰	۱۵۰	۵۰۰	۱۰۰	۴۷۰	۶۰۰	۵۹۰	۱۷۰	۳۶۰	۳۰۰	Ba
۳۹۰	۲۹۰	۱۹۰	۲۵۰	۴۸۰	۴۹۰	۳۶۰	۱۰۰	۲۸۰	۳۴۰	Sr
۱۸۶	۲۲۱	۹۴۵	۱۳۰	۲۸۶	۴۶۲	۲۸۷	۱۰۴	۲۷۵	۲۲۶	Zn
۲۶.۵	۳۹.۱	۳۶.۳	۵۲.۵	۳۳.۵	۳۰.۷	۷۰.۳	۶۱	۶۹.۷	۳۸.۱	Ce
۳۴.۲	۳۷.۲	۴۰.۲	۳۷.۴	۳۹.۲	۴۲.۷	۳۷.۶	۲۲۶	۴۰.۴	۴۳.۹	Co
۰.۱	۰.۴	۱	۰.۹	۰.۵	۰.۵	۰.۴	۱.۵	۱.۱	۰.۵	Cs
۷۶	۲۳	۷۴	۵۳	۶	۸	۱۷	۲۷	۶	۱۴۰	Cu
۳.۵۴	۵۵.۵	۴.۹۲	۶.۴۶	۴.۹۸	۴.۴۱	۷.۲۳	۶.۸	۷.۰۲	۴.۷۸	Dy
۱.۸	۲.۹	۲.۴۶	۳.۲۹	۲.۲۷	۲.۲۴	۳.۷۵	۳.۵۲	۳.۷۳	۲.۳۴	Er
۱.۴۴	۱.۹۹	۱.۷۹	۲.۶۲	۱.۸	۱.۵	۲.۵	۲.۰۸	۲.۳۴	۱.۸۳	Eu
۲۰	۲۲	۲۲	۲۳	۲۱	۲۰	۲۵	۲۳	۲۵	۲۰	Ga
۴.۲۲	۶.۲۹	۵.۷۵	۷.۴۵	۵.۴۶	۵.۰۴	۸.۳۲	۸.۰۲	۸.۰۲	۵.۵۵	Gd
۲	۲	۴	۵	۳	۲	۶	۵	۶	۳	Hf
۰.۶۷	۱.۱۴	۰.۹۸	۱.۳۱	۰.۹۹	۰.۸۳	۱.۴۳	۱.۴	۱.۴۶	۰.۹۵	Ho
۱۲.۱	۱۷.۲	۱۵.۹	۲۴.۴	۱۴.۷	۱۲.۹	۳۰.۵	۲۷.۳	۳۰.۸	۱۶.۲	La
۰.۱۹	۰.۳۳	۰.۳	۰.۳۸	۰.۲۶	۰.۲۶	۰.۴۴	۰.۴۲	۰.۴۷	۰.۲۳	Lu
۱۱	۱۸	۱۶	۲۲	۱۴	۱۳	۳۴	۲۸	۳۳	۱۵	Nb
۱۵	۲۲.۲	۲۱.۵	۲۹.۸	۲۰.۳	۱۸	۳۸.۵	۳۳.۵	۳۶.۵	۲۱.۹	Nd
۵۷	۷۴	۹۱	۲۹	۳۶	۶۹	۳۲	۲۹	۳۰	۷۸	Ni
۳۳۶	۵۱۴	۴۸۴	۶.۷۶	۴.۵۹	۴.۱	۹.۱۵	۷.۹	۹.۰۹	۴.۰۴	Pr
۲۶.۸	۱۸	۱۹.۴	۲.۲	۱۹	۵۴.۵	۳۱.۹	۳۹.۹	۲۳.۲	۲۱.۸	Rb
۳.۷	۵.۶	۵.۴	۷.۱	۵.۲	۴۶	۸.۴	۷.۷	۸	۵.۴	Sm
۰.۷	۱.۲	۱.۱	۱.۵	۰.۹	۰.۸	۲.۳	۱.۹	۲.۲	۱	Ta
۰.۶۳	۰.۹۸	۰.۸۷	۱.۱۷	۰.۸۵	۰.۷۶	۱.۲۶	۱.۲۲	۱.۲۶	۰.۸۴	Tb
۱.۲	۲۳	۱۸	۳.۱	۱.۶	۱.۶	۴.۶	۳	۴.۹	۱.۵	Th
۰.۵	۰.۵	۰.۵	۰.۵	۰.۵	۰.۵	۰.۵	۰.۵	۰.۵	۰.۵	Tl
۰.۲۴	۰.۴	۰.۳۲	۰.۴۴	۰.۳	۰.۳	۰.۴۹	۰.۴۷	۰.۵۲	۰.۳۲	Tm
۰.۲۸	۰.۶	۰.۵۳	۰.۸۲	۰.۴	۰.۳۷	۱.۱	۰.۶۹	۱.۱۴	۰.۳۸	U
۲۰.۶	۲۶۶	۲۷۸	۳۲۴	۲۶۲	۲۲۹	۳۳۷	۳۱۳	۳۳۵	۲۲۹	V
۱۸.۵	۲۸.۸	۲۴.۲	۲۳	۲۴.۹	۲۲.۱	۲۶.۵	۳۴.۸	۳۸.۱	۲۴.۷	Y
۱.۵	۲۶	۲.۱	۲.۸	۱.۹	۱.۹	۳.۱	۳.۱	۳.۳	۱.۹	Yb
۹۹.۵	۱۸۶	۱۶۳	۲۰۴	۱۳۷	۱۲۴	۲۵۶	۲۱۹	۲۶۴	۱۵۴	Zr



CARBONO- IFEROUS		D. ej	C. 1 <sup>Q</sup>	(سازند قلل اهک تخم ماهی‌ای، سنگ آهک، ماسه‌دار)
D. ej			C. 1 <sup>m</sup>	(سازند مبارک) شیل خاکستری سیاه رنگ- سنگ آهک- ماسه‌سنگ کوارتزیت در قاعده
D. kh <sup>4</sup>				سنگ آهک- سنگ آهک مارنی- عان- پروفسیل
D. kh <sup>3</sup>				مسه‌سنگ درشت دانه، قرمز رنگ و سنگ جوش
D. kh <sup>2</sup>		D. kh <sup>2</sup>		(سازند خوش بیلاق)
D. kh <sup>1</sup>		D. kh <sup>1</sup>		سنگ آهک- سنگ آهک مارنی- کنگلومرا- ماسه‌سنگ- دیاباز- سنگ آهک- بد طور محلی فسیل دار
S <sup>m</sup>				-شیل فسیل دار
O <sup>a</sup>				مسه‌سنگ- ماسه‌سنگ کوارتزیت- شیل- سنگ جوش قاعده
O <sup>ab</sup>				(سازند آتش‌شانی نکارمن) لسبیلت- بازالت- آندزیت پورفیریک
O <sup>b</sup>				(سازند آرسنج) شیل میکاشه- ماسه‌سنگ کوارتزیت
ORDOVICIAN				(سازند آستو) دولومیت- سنگ آهک- شیل فسیل دار

### مناطق مورد مطالعه

شکل ۱- موقعیت جغرافیایی مناطق مورد مطالعه در نقشه زمین‌شناسی ۱:۲۵۰۰۰ گرگان (شهرابی، ۱۳۶۹)



شکل ۳- حضور یک دایک میکروگابرویی در سازند ابرسج در دره کلودر (شمال نکارمن)، دید به سوی شمال شرق.



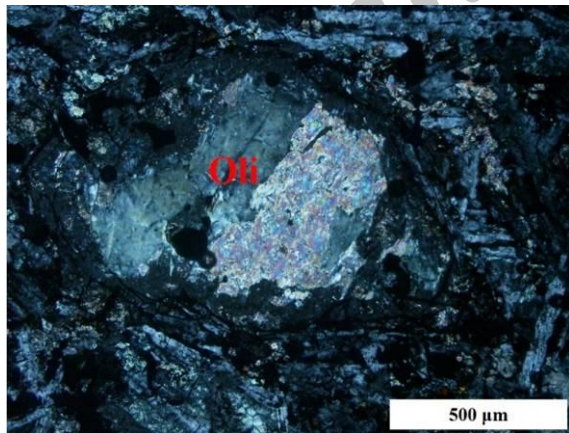
شکل ۲- نمایی از حضور گدازه‌های بازالتی در سازند ابرسج در دره کلودر (شمال نکارمن)، دید به سوی شمال.



شکل ۵- نمایی از دایک رخنمون یافته در سازند قلی، دهملا، دید به سوی جنوب غرب.



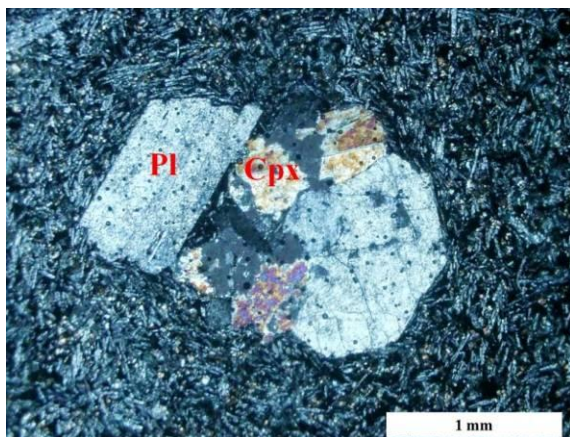
شکل ۴- نمایی از رخنمون یک دایک در سازند ابرسج، قلعه نوخرقان، دید به سوی شمال شرق.



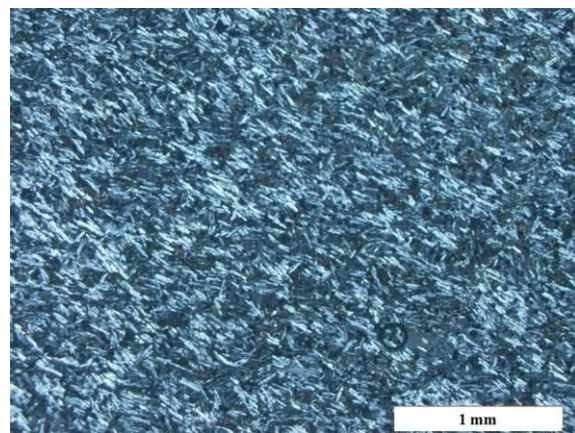
شکل ۷- بلور الیوین که کاملاً توسط کلسیت و کلریت جانشین شده است (نور XPL).



شکل ۶- آنکلاوهای رسوی (ماسنه سنگ‌ها و سیلتستون‌های سازند ابرسج) در سنگ‌های بازالتی در دره کلودر (شمال نکارمن).



شکل ۹- تصویری از بافت جریانی حاصل از میکرولیت‌های پلازیوکلаз در جهت جریان در سنگ‌های بازالتی (نور XPL).



شکل ۸- تصویری از بافت گلومروپورفیری در سنگ‌های بازالتی مورد مطالعه (نور XPL).

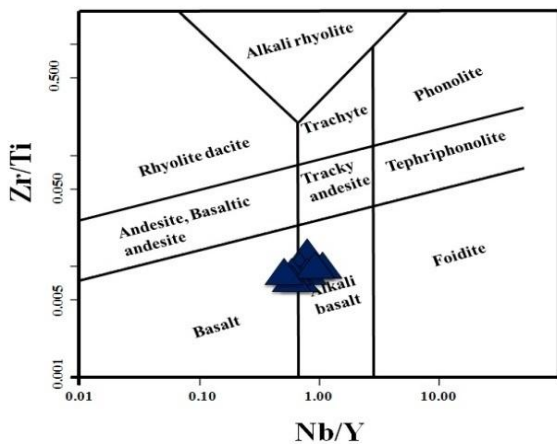


شکل ۱۰- تصویری از تیغه‌های آپاتیت به صورت میابارهای در بلور پلازیوکلاز در سنگ میکروگابرویی (نور XPL).

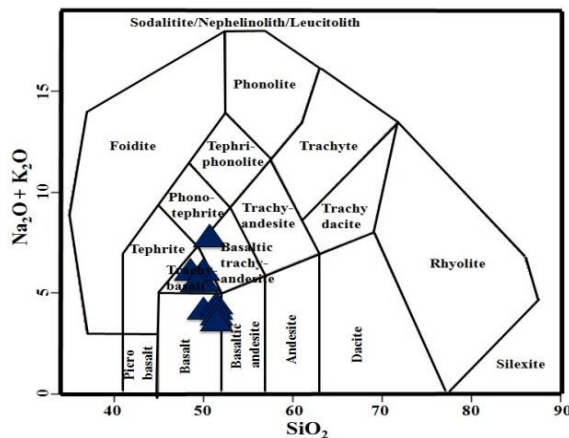
دگرسان شده‌اند، بنابراین برای شناسایی دقیق‌تر ماهیت بازالت‌های مورد مطالعه باید از نمودارهای مبتنی بر عناصر کمیاب باشد میدان بالا HFSE استفاده کرد. زیرا دگرسانی بر روی توزیع و تمرکز HFSE تأثیری ندارد. در نمودار (Pearce 1996) (شکل ۱۳)، اغلب نمونه‌های مورد مطالعه در محدوده بازالت‌های قلیایی قرار می‌گیرند (برای تعیین سری ماقمایی سنگ‌های سنگ‌های منطقه نیز از نمودارهای Zr (Zr/TiO<sub>2</sub>)<sup>\*0.0001</sup> در Winchester & Floyd, 1976 (P<sub>2</sub>O<sub>5</sub>) و Nb/Y در Winchester & Floyd, 1977 مقابله شده است. در این نمودارها، سنگ‌های بازالتی مورد بررسی، در محدوده سری ماقمایی قلیایی واقع شده‌اند (شکل‌های ۱۴ و ۱۵).

## ۵- ژئوشیمی و سنگ‌زایی

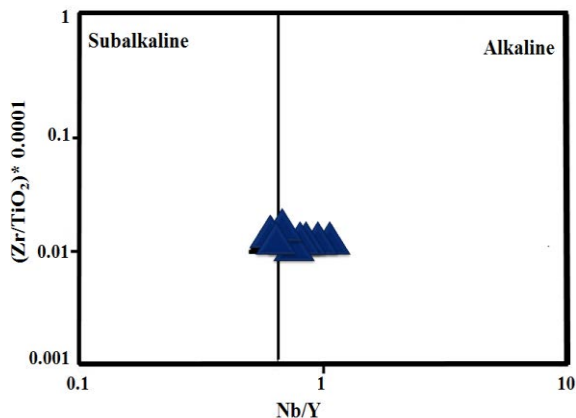
با توجه به یکنواختی ترکیب سنگ‌شناختی و شیمیایی نمونه‌های سنگی منطقه و حالت نیمه‌عمیق (دایک گونه) میکروگابروها، از نمودارهای ژئوشیمیایی یکسانی برای نمونه‌های بازالتی و میکروگابرویی استفاده شده است. سنگ‌های مناطق مورد مطالعه در نمودار طبقه‌بندی (Middlemost 1994)، که براساس دو پارامتر مجموعه قلیایی‌ها در مقابل سیلیس رسم شده است، در محدوده بازالت، تراکی بازالت و تراکی آندزیت بازالتی قرار می‌گیرند (شکل ۱۲). از آنجا که سنگ‌های بازالتی مناطق مورد مطالعه تا حدودی



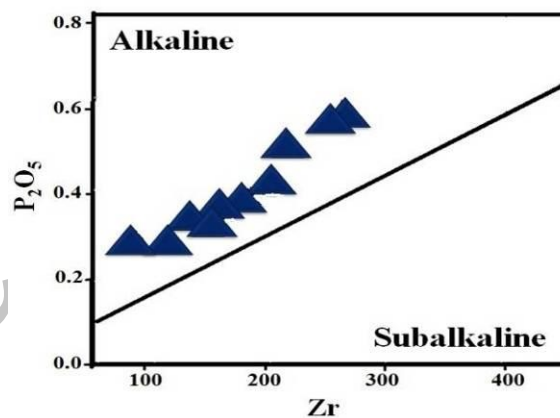
شکل ۱۲- موقعیت نمونه‌های مورد مطالعه در نمودار  $\text{Nb}/\text{Y}$  در برابر  $\text{Zr}/\text{Ti}$  (Pearce, 1996).



شکل ۱۱- موقعیت نمونه‌های مورد مطالعه در  $\text{SiO}_2$  در برابر  $\text{Na}_2\text{O} + \text{K}_2\text{O}$  (Middlemost, 1994).



شکل ۱۴- نمودار  $\text{Y}$  در مقابل  $\text{Nb}$  (Winchester & Floyd, 1977) برای تعیین سری ماقمایی سنگ‌های منطقه مطالعه.



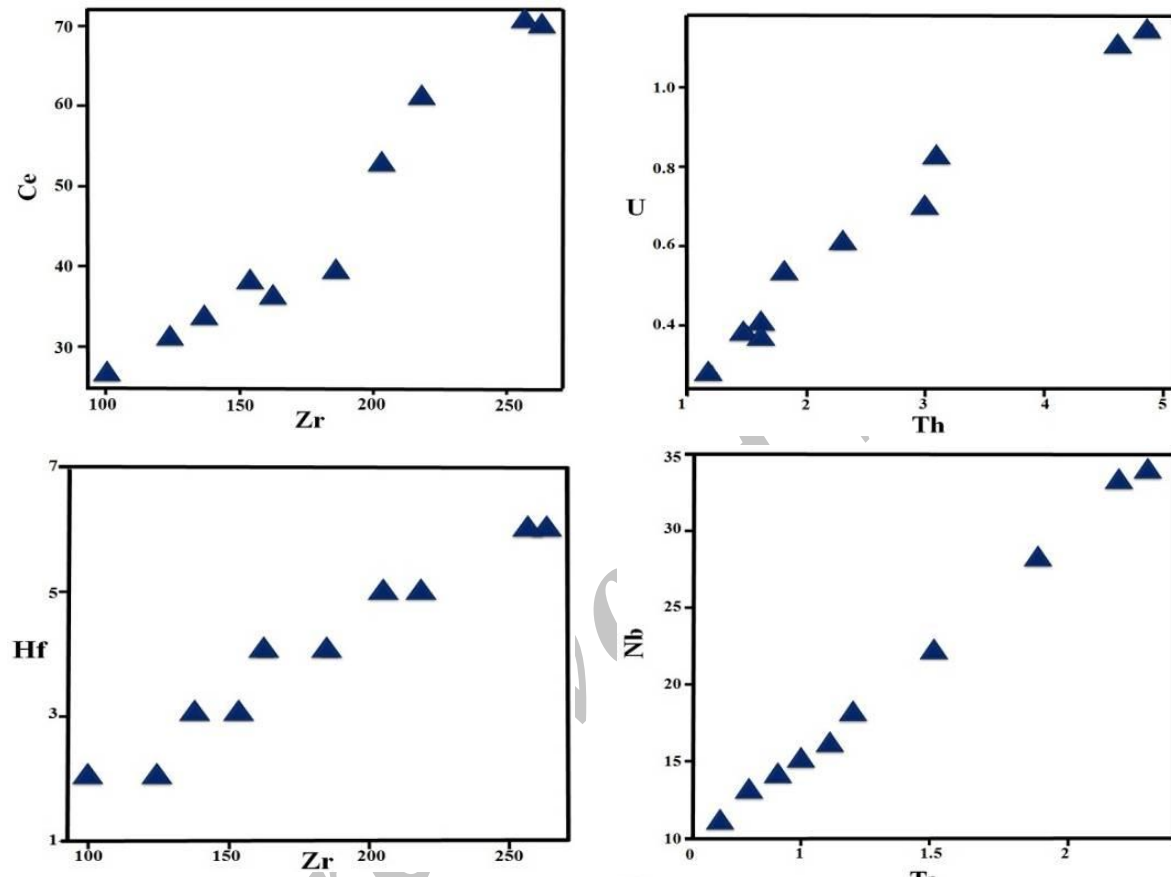
شکل ۱۳- نمودار  $\text{Zr}$  در برابر  $\text{P}_2\text{O}_5$  (Winchester & Floyd, 1976) برای تعیین سری ماقمایی سنگ‌های منطقه مطالعه.

بالای  $\text{CO}_2/\text{H}_2\text{O}$  در محیط و جدایش الیوین و کلینوپیروکسن نیز می‌تواند سبب تهی شدن عناصر سنگین شود. وجود بی‌هنجاری‌های مثبت و منفی در عناصر K, Sr, Rb, Cs, Ba پیش‌گویی می‌نماید. بودن این عناصر در طی دگرسانی و مقادیر جزئی آلایش پوسته‌ای ماقماً نسبت داد (Rollinson, 1993). موازی بودن الگوی پراکندگی عناصر کمیاب خاکی در نمودار بیهنجارشده نسبت به کندریت، بیانگر منشأ مشترک و نقش تبلور تفریقی در تحول سنگ‌های مورد بررسی است. به اعتقاد Shehata and Theodoros (2011) می‌توان از نسبت‌های عناصر HFSE/LREE به عنوان نشانگر منشأ بازالت‌ها استفاده کرد. نسبت‌های کمتر از یک، نشان‌دهنده منشأ سنگ‌کره‌ای و نسبت‌های بیشتر از یک، بیانگر منشأ سست‌کره‌ای بازالت‌هاست (مانند نسبت  $\text{Nb}/\text{La}$  که در بازالت‌های مورد بررسی بیش از یک است). بی‌هنجاری مثبت کوچکی در عناصر  $\text{Nb}$  و  $\text{Ti}$  مشاهده می‌شود که نشانه‌ای از نبود آلایش ماقماً با پوسته است. عواملی از قبیل درجه ذوب‌بخشی و ضخامت سنگ کره، فراوانی

الگوی تغییرات نمونه‌های مورد مطالعه در نمودار تغییرات عناصر ناسازگار در مقابل یکدیگر از روند خطی و صعودی پیروی می‌کند (شکل ۱۶) که بیانگر نقش تبلور تفریقی در تحول ماقمایی نمونه‌های مورد مطالعه است (Rogers et al., 1985). مقادیر عناصر کمیاب نمونه‌های مورد مطالعه نسبت به گوشته اولیه (Sun & McDonough, 1989) و کندریت (Nakamura, 1974) بیهنجار شده‌اند (شکل‌های ۱۷ و ۱۸). در این نمودارها، سنگ‌های مورد مطالعه از عناصر LREE نسبت به عناصر HREE غنی‌شدنگی نشان می‌دهند. به طور کلی بازالت‌های قلیابی درون ورقه‌ای از عناصر ناسازگار، عناصر سنگدوست بزرگ یون و عناصر با شدت میدان بالا غنی‌شدنگی نشان می‌دهند (Zeng et al., 2010). تهی‌شدگی از عناصر خاکی سنگین می‌تواند ناشی از منشأ گرفتن ماقماً از یک سنگ منبع گارنت‌دار باشد، که در اثر ذوب‌بخشی درجه پایین، عناصر سنگین به صورت سازگار با گارنت وارد مذاب نشده و عامل تهی‌شدگی شوند (Zongfeng et al., 2009).

منطقه را می‌توان به منشأ گوشه‌های عمیق آن‌ها نسبت داد. زیرا فراوانی Ti در گوشه نسبت به پوسته بسیار بالاست به طوری که بی‌هنگاری منفی این عنصر را به آلوودگی پوسته‌ای نسبت داده‌اند.(Thompson, 1982)

Ti را در مذاب‌های اولیه کنترل می‌کنند (Shehata and Theodoros, 2011) (به طور کلی، برخی عناصر کلیدی از قبیل Nb و LREE به طور متغیر بیشترین فراوانی را در ماقماهای مرتبط با پلوم در جایگاه‌های درون ورقه اقیانوسی یا قاره‌ای دارند (Safonova et al., 2011). بی‌هنگاری مثبت Ti در سنگ‌های

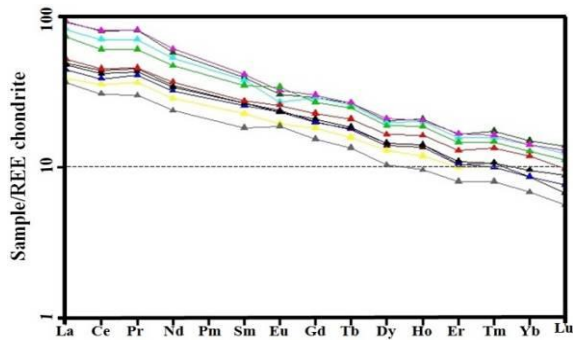


شکل ۱۵- نمودار عناصر ناسازگار- ناسازگار برای نمونه‌های منطقه مورد مطالعه که حاکی از نقش تبلور تفریقی در تحول ماقمایی نمونه‌های است.

زمین‌ساختی (Kampunzu & Mohr, 1991)، سنگ‌های بازالتی منطقه در محیط کافت درون قاره‌ای قرار می‌گیرند (شکل ۲۱). در نمودارهای نسبت ث/Yb در مقابل Nb/Yb (Pearce, 2008) و Sun & McDonough, (Al<sub>2</sub>O<sub>3</sub>/TiO<sub>2</sub>) (Gd/Yb) (1989) در مقابل (Zr/Y) (Fitton 2007) مطالعه محدوده OIB می‌گیرد (شکل ۲۲ و ۲۳). به طور کلی ویژگی‌های ژئوشیمیایی بازالت‌های منطقه با تشکیل آن‌ها از یک منبع گوشه‌ای مرتبه با پلوم سازگار است که از عناصر ناسازگار، به ویژه LREE‌ها غنی شده‌اند. همان‌گونه که در نمودار Pearce & Cann (1973) مشاهده می‌شود (شکل ۲۴)، موقعیت نمونه‌ها بر روی این نمودار، بیانگر یک منشأ پلوم است. از آنجا که ترکیب محل منبع بازالت‌های درون ورقه قاره‌ای با ترکیب محل منبع OIB (گوشه سست‌کره‌ای) یکسان است، بنابراین در این

برای تعیین محیط زمین‌ساختی تشکیل بازالت‌های قلیایی مورد مطالعه، از عناصر Ti, Nb, Y, Zr, Ta که در طی هوازدگی، دگرسانی، دگرگونی درجه پایین و متاسوماتیک تحرک کمتری دارند، استفاده شده است. نمودار Pearce & Norry, (Zr/Y) در مقابل (Zr/Y) (1979) تمایز مؤثری بین بازالت‌های جایز کمانی، مورب و بازالت‌های درون ورقه‌ای نشان می‌دهد. در این نمودار، نمونه‌های مورد مطالعه در محدوده بازالت‌های درون ورقه‌ای قرار می‌گیرند (شکل ۱۹). یکی دیگر از نمودارهایی که با استفاده از عناصر فرعی، محیط‌های زمین‌ساختی مختلف را از یکدیگر جدا می‌کند، نمودار Ti/100 - Y\*3 - Zr - (Pearce & Cann, 1973) است. در این نمودار نمونه‌های مورد بررسی در محدوده D (سنگ‌های درون ورقه‌ای) قرار می‌گیرند (شکل ۲۰). همچنین در نمودار تمایز محیط

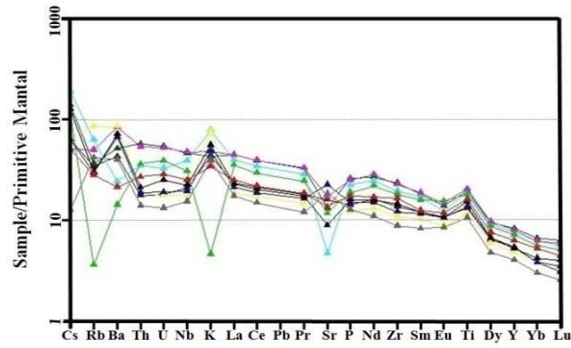
شده است. براساس این نمودار، نمونه‌های مورد مطالعه بر روی منحنی ذوب گارن‌ت پریدوتیت با درجه ذوب‌بخشی ۱۶ تا ۲۵ درصد واقع شده‌اند (شکل ۲۵). عمق به دست آمده برای محل ذوب سنگ منبع نمونه‌های مورد بررسی با استفاده از نمودار (Ellam 1992) ۱۰۰ تا ۱۱۰ کیلومتر به دست آمده که بیانگر ذوب یک ستون گوشه‌ای عمیق در حال صعود است (شکل ۲۶).



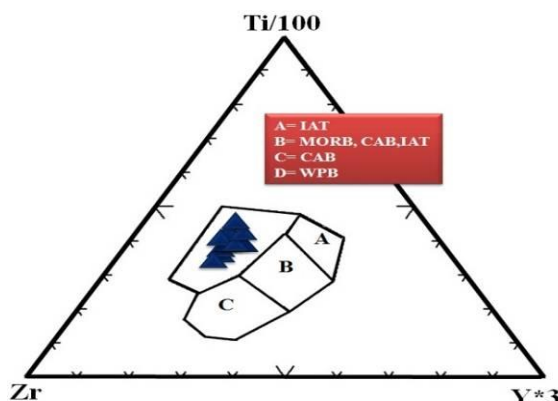
شکل ۱۵- الگوی عنصر نادر خاکی بهنجار شده نسبت به کندریت (برای نمونه‌های مورد مطالعه). Nakamura, 1974

نمودارها ترکیب بازالت‌های منطقه در قلمرو OIB قرار گرفته است، اما این بدان معنی نیست که بازالت‌های منطقه از نوع جزایر اقیانوسی باشند. بلکه به معنی شباهت محل منبع آنها با محل منبع OIB است (گوشه‌ست کره‌ای).

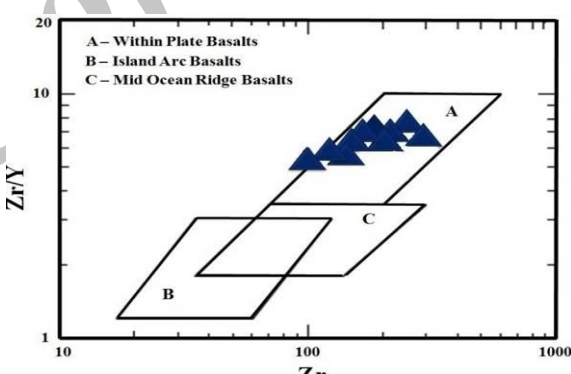
برای تعیین درجه ذوب بخشی سنگ منشأ از نمودار نسبت در مقابل (Thriwall et al., 1994) La/Yb در مقابل Dy/Yb استفاده



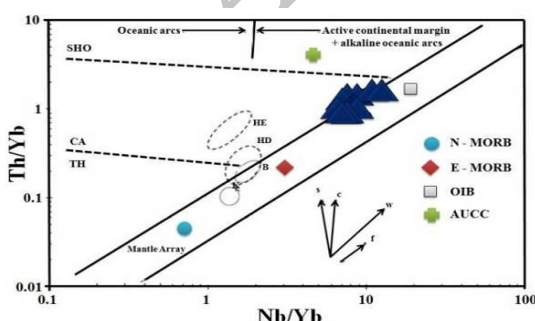
شکل ۱۶- نمودار عنکبوتی بهنجار شده نسبت به گوشه‌ای اولیه (McDonough & Sun, 1989) (برای نمونه‌های مورد مطالعه).



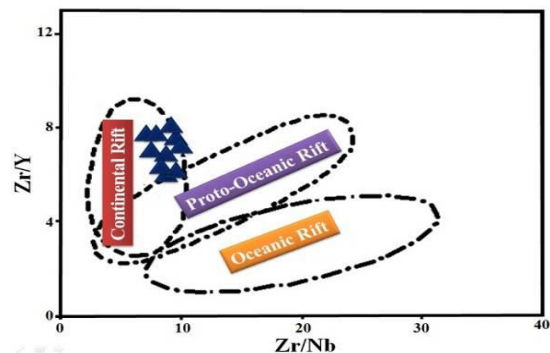
شکل ۱۷- موقعیت نمونه‌های مورد مطالعه در میدان بازالت‌های درون‌ورقه‌ای در نمودار (Ti/100 - Zr - Y\*3) (Pearce & Cann, 1973).



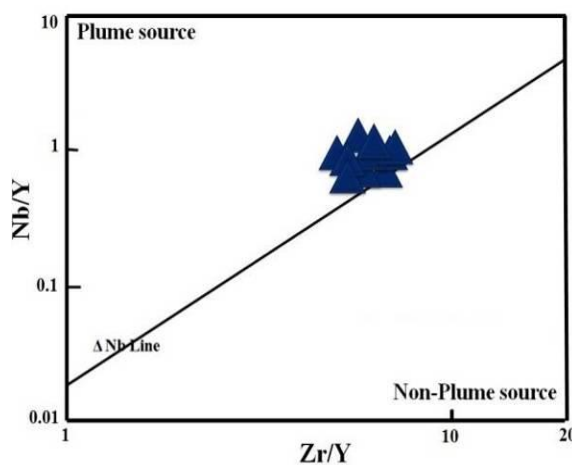
شکل ۱۸- موقعیت نمونه‌های مورد مطالعه در محدوده بازالت‌های درون‌ورقه‌ای در نمودار Zr/Y در برابر Zr (Pearce & Norry, 1979).



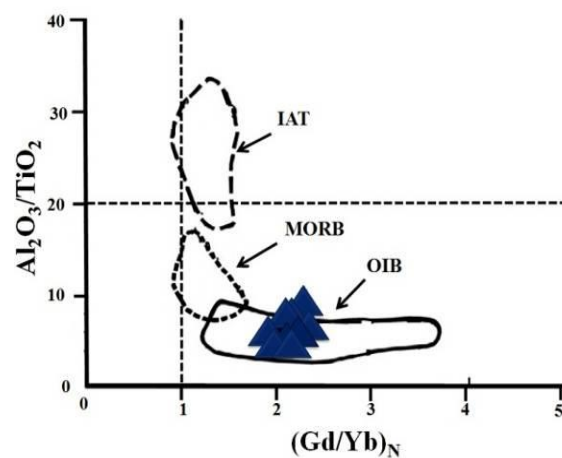
شکل ۱۹- موقعیت نمونه‌های مورد بررسی در نمودار Th/Yb در برابر Nb/Yb (Pearce, 2008). علامت اختصاری در این نمودار عبارتند از: SHO (سنگ‌های بازالتی شوشنیتی)، CA (سنگ‌های بازالتی کلیسیمی - قلابیایی)، TH (سنگ‌های بازالتی تولکیتی)، HE (بازالت‌های غنی شده کمانی)، HD (بازالت‌های تهی شده پشت‌کمانی).



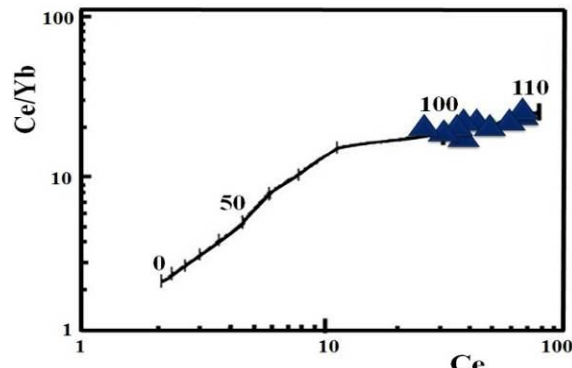
شکل ۲۰- موقعیت نمونه‌های بازالتی مورد مطالعه در میدان کافت قاره‌ای در نمودار تمایز محیط زمین‌ساختی (Kampunzu & Mohr, 1991).



شکل ۲۳- نمودار (Nb/Y) در برابر (Zr/Y) (Fitton, 2007) برای نمونه‌های مورد مطالعه منطقه.



شکل ۲۲- موقعیت نمونه‌های مورد بررسی در نمودار (Gd/Yb)<sub>n</sub> در برابر (Al<sub>2</sub>O<sub>3</sub>/TiO<sub>2</sub>) (Sun & McDonough, 1989) (MORB) نمودار عبارتند از: OIB (بازالت‌های جزایر اقیانوسی درون ورقه‌ای)، (بازالت‌های پشت‌های میان اقیانوسی) و IAT (توپلیت‌های جزایر کمانی).



شکل ۲۵- موقعیت نمونه‌های مورد مطالعه در نمودار Ce/Yb در برابر Ce (Ellam, 1992).

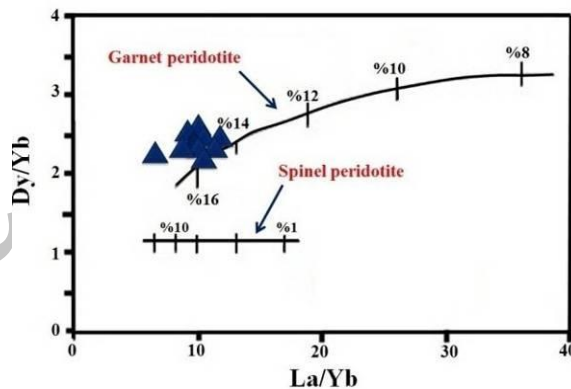
دیرینه‌تیس در اردوبویسین پسین نفوذ کرده و یا به سطح زمین راه یافته است.

### تقدیر و تشکر

نویسنده‌گان مقاله از صندوق حمایت از پژوهشگران معاونت علمی ریاست جمهوری (INISF) (طرح پژوهشی شماره ۹۰۰۴۸۹۳) و دانشگاه صنعتی شاهرود به خاطر حمایت‌های مادی و معنوی از انجام این تحقیق تشکر می‌نمایند.

### مراجع

- سه‌مامی، ط.، ۱۳۹۰، پایان‌نامه کارشناسی ارشد: "زمین‌شناسی و پتروزنز بازالت سلطان میدان در مناطق نکارمن و ابرسج، شمال



شکل ۲۴- نمودار (Dy/Yb) در برابر (La/Yb) (Thriwall et al., 1994) برای نمونه‌های مورد مطالعه منطقه.

### ۶- نتیجه‌گیری

سنگ‌های مورد بررسی به صورت گدازه، دایک و سیل و با ترکیب بازالت، تراکی بازالت، تراکی آندزیت بازالتی و میکروگابرو در نهشته‌های اردوبویسین بالایی حضور دارند. بررسی‌های ژئوشیمیایی این سنگ‌ها برای اولین بار نشان می‌دهند که آن‌ها دارای ماهیت قلایی بوده و در یک محیط کافت درون قاره‌ای تشکیل شده‌اند. با توجه به نمودارهای تغییرات عناصر ناسازگار در مقابل یکدیگر می‌توان گفت که تبلور تغیریقی، فرایند اصلی در تحولات ماقمایی سنگ‌های منطقه بوده است. ماقمایی سازنده این سنگ‌ها با ویژگی ماقمایی مگماهای درون ورقه‌ای در اثر ذوب‌بخشی ۱۶ تا ۱۴ درصدی یک گوشه‌گارنت پریدوتی در اعماق ۱۰۰ تا ۱۱۰ کیلومتری ایجاد شده و در محیط کششی کافتی تهنشست سازنده‌ای ابرسج و قلی در مراحل آغازین کافت‌زایی

- Ghavidel-Syooki, G., Hassanzadeh, J., Vecoli, M., 2011, "Palynology and isotope geochronology of the Upper Ordovician-Silurian successions (Ghelli and Soltan Maidan Formations) in the Khoshyeilagh area, eastern Alborz Range, northern Iran; stratigraphic and palaeogeographic implications", *Review of Palaeobotany and Palynology*. 164:P.251-271.
- Kampunzu A. B., Mohr P., 1991, "Magmatic evolution and petrogenesis in the East African rift system. In: Kampunzu, A. B., Labala, R. T. (Eds.), Magmatism in Extensional Structure Settings-The Phanerozoic African Plate", *Springer Verlag, Heidelberg*. P.85-136.
- Mcphie, J., Doyle, M., Allen, R., 1993, "Volcanic Textures: A guide to the interpretation of textures in volcanic rocks, Centre for Ore Deposit and Exploration Studies", *University of Tasmania*.P.196.
- Middlemost E.A.K., 1994, "Naming materials in the magma/igneous rock system", *Earth Sci Rev*. 37:P.215-224.
- Nakamura, N., 1974, "Determination of REE, Ba, Fe, Mg, Na and K in carbonaceous and ordinary chondrites", *Geochim. Cosmochim. Acta*. 38:P.757-775.
- Pearce, J.A. and Cann, J.R., 1973, "Tectonic setting of basic volcanic rocks determined using trace element analyses", *Earth Planetary Science letters*. 19:P.290 -300.
- Pearce J.A and Norry M.J., 1979, "Perogenetic implications of Ti, Zr, Y and Nb variations in volcanic rocks", *Contrib. Mineral. Petrol.* 69:P.33 - 47.
- Pearce, J.A.,1996, "A user's guide to basalt discrimination diagrams. In: Wyman, D.A. (Ed.), Trace Element Geochemistry of Volcanic Rocks: Applications for Massive Sulphide Exploration", *Geological Association of Canada, Short CourseNotes*, vol. 12:P.79 -113.
- Pearce, J.A., 2008, "Geochemical finger printing of oceanic basalts with applications to ophiolite classification and the search for Archean oceanic crust", *Lithos*. 100:P.14 - 48.
- Rogers, G., Saunders, A.D., Terrell, D.J., Verma, S.P., Marriner, G.F., 1985, "Geochemistry of Holocene volcanic rocks associated with ridge subduction in Baja California, Mexico", *Nature*. 315:P.389-392.
- Rollinson, h.R., 1993, "Using Geochemical Data: Evaluation, Presentation, Interpretation", *John Wiley and Sons*. P.325.
- Safonova, I.Yu., Buslov, M.M., Simonov, V.A., Izokh, A.E., Komiya, T., Kurganskaya , E.V., Ohno, T., 2011, "Geochemistry, petrogenesis and geodynamic origin of basalts from the Katun' accretionary complex of Gorny Altai (southwestern Siberia)", *Russian Geology and Geophysics*, Elsevier. P.421 - 442.
- Shehata, A., and Theodoros, N., 2011, "Alkali basalts from Burgenland, Austria: Petrological constraints on the origin of the westernmost magmatism in the Carpathian Pannonian Region", *Lithos*.121: P.176 -188.
- Stampfli, G. M., 1978, "Etude géologique générale de l'Elburz oriental au S de Gonbad-e-Qabus Iran NE", Thèse présentée de la Faculté des Sciences de l'Université de Genève, P.329.
- Sun, S., McDonough, W.F., 1989, "Chemical and isotopic systematics of oceanic basalts: Implications for mantle composition and processes, in: Saunders, A.D., Norry
- شاھرود" دانشکده علوم زمین، دانشگاه صنعتی شاھرود، ۱۵۲ صفحه.
- شهرابی م، ۱۳۶۹، "نقشه زمین‌شناسی ۱/۲۵۰۰۰۰ گرگان" سازمان زمین‌شناسی کشور.
- صالحیان، ش، ۱۳۹۰، پایان‌نامه کارشناسی ارشد: "بررسی پترولوزی و ژئوشیمی سنگ‌های آذرین مافیک موجود در شیسته‌های گرگان" دانشکده علوم زمین، دانشگاه صنعتی شاھرود، ۱۶۳ صفحه.
- طاهری، ع، وزیری‌مقدم، ح، حیدری، ح، ۱۳۸۳، "چینه‌نگاری و محیط رسوی سازند قلی در ناحیه دهملا" مجموعه مقالات هشتمین همایش انجمن زمین‌شناسی ایران، صفحه ۷۰-۲-۶۹۳.
- قاسمی، ح؛ خانعلی‌زاده، ع، ۱۳۹۱، "گرانیتوئید نوع A تویه دروار جنوب باخته دامغان: نشانه‌ای از ماقم‌تاییسم حوضه کششی پالوتیس در پالتوزوئیک زیرین البرز" مجله پالور‌شناسی و کانی‌شناسی ایران، سال بیستم، شماره ۱، بهار ۱۳۹۱، صفحه ۲۴-۳.
- قوبدل سیوکی، م، حسین‌زاده مقدم، م.س.، ۱۳۸۹، "پالینو-استراتیگرافی رسوبات پالتوزوئیک پیشین در جنوب ناحیه فاضل‌آباد (خولین دره) جنوب شرق گرگان" پژوهش‌های چینه‌نگاری و رسوب‌شناسی، سال بیست و ششم، شماره پیاپی ۳۸، شماره اول، بهار ۱۳۸۹، صفحه ۲۴-۱.
- کاظمی حسنوند، ز، قاسمی، ح، طاهری، ع، صادقیان، م، ۱۳۹۰، "شواهد ماقم‌تاییسم کافتی اردوبویسین، شمال شاھرود، البرز شرقی"، سی‌امین گردهمایی سازمان زمین‌شناسی و اکتشافات معدنی کشور، ۷ صفحه.
- Alavi, M., 1996, "Tectonostratigraphic synthesis and structural style of the Alborz mountain system in Northern Iran", *Journal of Geodynamics*. 21:P.1-33.
- Berberian, M., King, G.C.P.,1981, "Tow ards a paleogeography and tectonic evolution of Iran", *Canadian Journal of Earth Science*. 18:P.210 -165.
- Boulin, J., 1991, "Structures in Southwest Asia and evolution of the eastern Tethys", *Tectonophysics*. 196:P. 211-268.
- Ellam, R.M., 1992, "Lithospheric thickness as a control on basalt geochemistry", *Geology*.20:P.153 - 156.
- Fitton, J.G., 2007, "The OIB paradox. In: Plates, Plumes and Planetary Processes (Foulger, G.R. and Jurdy, D.M. eds.)", *Geological Society of America Special Publication*. 430:P.387-412.
- Ghavidel-Syooki, M., 2006, "Palinostratigraphy and Palaeogeography of the Cambro-Ordovician strata in southwest of Shahrud (Kuh-e- Kharbash), North Iran", *JU ST* 32:P.13-27.
- Ghavidel-Syooki, M., 2008, "Palynostratigraphy and Palaeogeography of the Upper Ordovician Gorgan Schists (Southeast Caspian Sea), Eastern Alborz Mountain Ranges, Northern Iran", *Comunicações Geológicas*. 95:P.123-155.
- Ghavidel-Syooki, M. , 2009, "Palynostratigraphy and paeogeography of Ordovician strata (Abastu and Abarsaj formations) from the southeastern Caspian Sea, north eastern Iran", *CIMP Faro'09UALG, Faro, PORTUGAL*. 23-24 September.

- Winchester J.A., Floyd P.A., 1977**, "Geochemical discrimination of different magmas and their differentiation products using immobile element Geology", *Chemical Geology*. 20: P.249-287.
- Zanchi, A., Zanchetta, S., Berra, F., Mattei, M., Garzanti, E., Molyneux, S., Nawab, A., Sabouri, J., 2009**, "The Eo - Cimmerian (Late? Triassic) orogeny. South Caspian to central Iran Basins", *Geological Society Special Publications*. 312: P.31-55.
- Zeng, G., Chen, L., Xu, X., Jiang, Sh., Hofmann, A., 2010**, "Carbonated mantle sources for Cenozoic intra-plate alkaline basalts in Shandong, North China", *Chemical Geology*. 273: P.35-45.
- Zongfeng, Y., Zhaohua, L., Huafeng, Zh., Yongmei, Zh., Fan, H., Chenguang, S., Jingren, D., 2009**, "Petrogenesis and Geological Implications of the Tianheyong Cenozoic Basalts, Inner Mongolia China", *Earth Science Frontiers*. 16 (2: P.090 -106.
- M.J. (Eds.), Magmatism in the Ocean Basins", *Geological Society London, Spec. Publ.* 42: P.313-345.
- Thirwall, F.M., Upton, B.j., Jenkins, C., 1994**, "Interaction between continental lithosphere and Iceland plume-Sm-Nd-Pb isotope geochemistry of Tertiary basalts, NE Greenland", *Journal of Petrology*. 35: P.839-879.
- Thompson R.N., 1982**, "British Tertiary volcanic province", *Scoot. J. Geol.* 18: P.49-107.
- Wendt, J., Kaufmann, B., Belka, Z., Farsan, N., Karimi Bavandpur, A., 2005**, "Devonian/Lower Carboniferous stratigraphy, facies patterns and palaeogeography of Iran, part II: northern and central Iran", *Acta Geol Pol.* 55: P.31-97.
- Winchester J.A., Floyd P.A., 1976**, "Geochemical magma type discrimination; application to altered and metamorphosed basic igneous rocks", *Earth Planet Sci. Lett.* 28: 459-469.